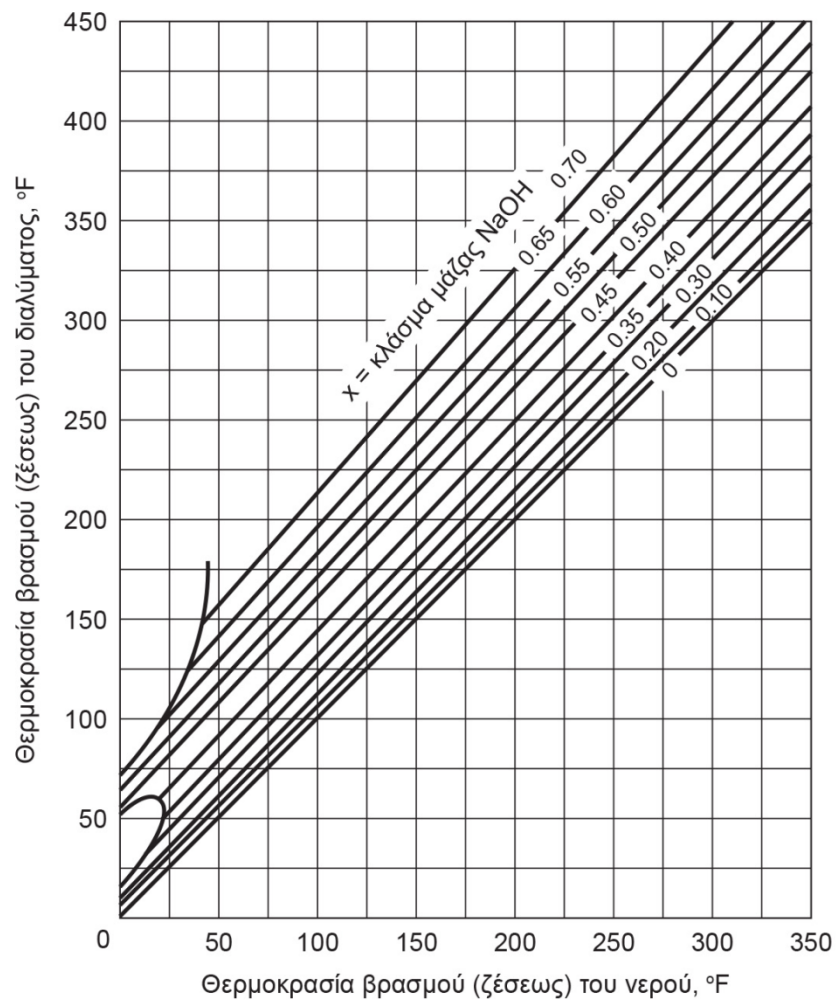
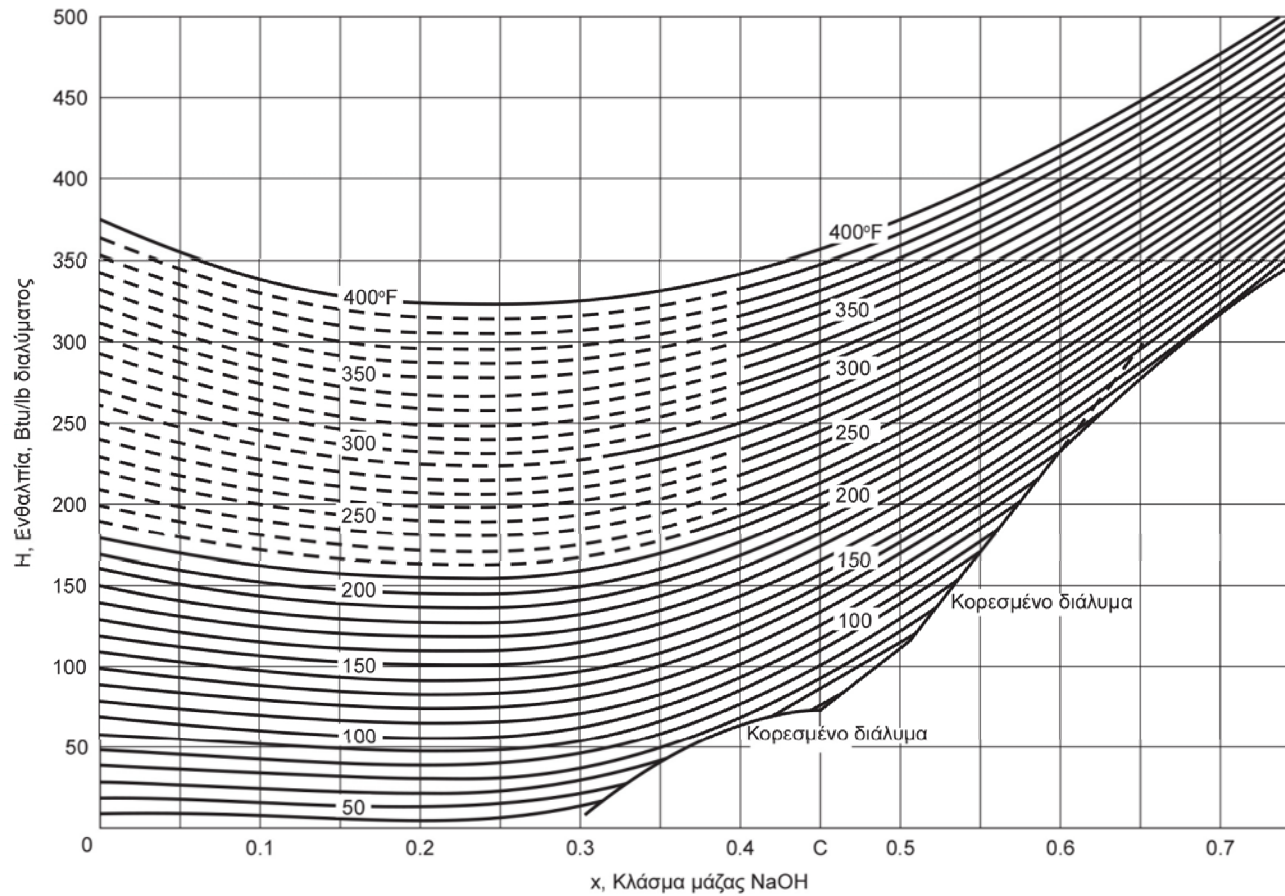


Παράγοντες που επηρεάζουν την Εξάτμιση του Υγρού



Διάγραμμα κανόνος Dühring
για το σύστημα υδροξειδίου του νατρίου-ύδατος

Εξάτμιση με Μη Αμελητέα Θερμότητα Αραίωσης



Διάγραμμα ενθαλπίας-συγκεντρώσεως
συστήματος υδροξειδίου του νατρίου-ύδατος

Ιδιότητες Κορεσμένου Υδρατμού και Νερού

Θερμοκρασία T , °F	Τάση ατμών p_s , lb/in ²	Ειδικός όγκος, ft ³ /lb		Ενθαλπία, Btu/lb		
		Υγρού v_x	Κορεσμένου ατμού v_y	Υγρού H_x	Εξάτμισης h	Κορεσμένου ατμού H_y
32	0.08859	0.016022	3,305	0	1,075.4	1,075.4
35	0.09992	0.016021	2,948	3.00	1,073.7	1,076.7
40	0.12166	0.016020	2,445	8.02	1,070.9	1,078.9
45	0.14748	0.016021	2,037	13.04	1,068.1	1,081.1
50	0.17803	0.016024	1,704.2	18.06	1,065.2	1,083.3
55	0.2140	0.016029	1,431.4	23.07	1,062.4	1,085.5
60	0.2563	0.016035	1,206.9	28.08	1,059.6	1,087.7
65	0.3057	0.016042	1,021.5	33.09	1,056.8	1,089.9
70	0.3632	0.016051	867.7	38.09	1,054.0	1,092.0
75	0.4300	0.016061	739.7	43.09	1,051.1	1,094.2
80	0.5073	0.016073	632.8	48.09	1,048.3	1,096.4
85	0.5964	0.016085	543.1	53.08	1,045.5	1,098.6
90	0.6988	0.016099	467.7	58.07	1,042.7	1,100.7
95	0.8162	0.016114	404.0	63.06	1,039.8	1,102.9
100	0.9503	0.016130	350.0	68.05	1,037.0	1,105.0
110	1.2763	0.016166	265.1	78.02	1,031.4	1,109.3
120	1.6945	0.016205	203.0	88.00	1,025.5	1,113.5
130	2.225	0.016247	157.17	97.98	1,019.8	1,117.8
140	2.892	0.016293	122.88	107.96	1,014.0	1,121.9
150	3.722	0.016343	96.99	117.96	1,008.1	1,126.1
160	4.745	0.016395	77.23	127.96	1,002.2	1,130.1
170	5.996	0.016450	62.02	137.97	996.2	1,134.2
180	7.515	0.016509	50.20	147.99	990.2	1,138.2
190	9.343	0.016570	40.95	158.03	984.1	1,142.1
200	11.529	0.016634	33.63	168.07	977.9	1,145.9
210	14.125	0.016702	27.82	178.14	971.6	1,149.7
212	14.698	0.016716	26.80	180.16	970.3	1,150.5

(συνεχίζεται)

Ιδιότητες Κορεσμένου Υδρατμού και Νερού

Θερμοκρασία T , °F	Τάση ατμών p_A , lb/in ²	Ειδικός όγκος, ft ³ /lb		Ενθαλπία, Btu/lb		
		Υγρού v_x	Κορεσμένου ατμού v_y	Υγρού H_x	Εξάτμισης λ	Κορεσμένου ατμού H_y
220	17.188	0.016772	23.15	188.22	965.3	1,153.5
230	20.78	0.016845	19.386	198.32	958.8	1,157.1
240	24.97	0.016922	16.327	208.44	952.3	1,160.7
250	29.82	0.017001	13.826	218.59	945.6	1,164.2
260	35.42	0.017084	11.768	228.76	938.8	1,167.6
270	41.85	0.017170	10.066	238.95	932.0	1,170.9
280	49.18	0.017259	8.650	249.18	924.9	1,174.1
290	57.53	0.017352	7.467	259.44	917.8	1,177.2
300	66.98	0.017448	6.472	269.73	910.4	1,180.2
310	77.64	0.017548	5.632	280.06	903.0	1,183.0
320	89.60	0.017652	4.919	290.43	895.3	1,185.8
340	117.93	0.017872	3.792	311.30	879.5	1,190.8
350	134.53	0.017988	3.346	321.80	871.3	1,193.1
360	152.92	0.018108	2.961	332.35	862.9	1,195.2
370	173.23	0.018233	2.628	342.96	854.2	1,197.2
380	195.60	0.018363	2.339	353.62	845.4	1,199.0
390	220.2	0.018498	2.087	364.34	836.2	1,200.6
400	247.1	0.018638	1.8661	375.12	826.8	1,202.0
410	276.5	0.018784	1.6726	385.97	817.2	1,203.1
420	308.5	0.018936	1.5024	396.89	807.2	1,204.1
430	343.3	0.019094	1.3521	407.89	796.9	1,204.8
440	381.2	0.019260	1.2192	418.98	786.3	1,205.3
450	422.1	0.019433	1.1011	430.2	775.4	1,205.6

Από το Steam Tables, Joseph H Keenan G. Keyes, Philip G. Hill, και Joan G. Moore, John Wiley & Sons, New York, 1969, με άδεια εκδότη

